

УДК 517.958:532

## ОЦЕНКА ФИЛЬТРАЦИОННЫХ ПАРАМЕТРОВ ПЛАСТА ПО ДАННЫМ НЕСТАЦИОНАРНЫХ ИССЛЕДОВАНИЙ ГОРИЗОНТАЛЬНЫХ СКВАЖИН

П. Е. Морозов, Р. В. Садовников, М. Х. Хайруллин, М. Н. Шамсиев

Институт механики и машиностроения Казанского научного центра РАН, 420111 Казань  
E-mail: khairullin@mail.knc.ru

На основе методов регуляризации построены вычислительные алгоритмы для интерпретации результатов гидродинамических исследований горизонтальных скважин, которые позволяют оценить анизотропию пласта, пластовое давление и получить зависимость проницаемости пласта от давления. В отличие от графоаналитических методов такой подход не требует идентификации режимов потоков.

Ключевые слова: обратная задача, регуляризация, горизонтальная скважина, пластовое давление, анизотропия, проницаемость.

Задачи определения фильтрационных параметров нефтегазоносного пласта по данным нестационарных гидродинамических исследований принадлежат к классу обратных задач подземной гидромеханики. Особенность этих задач состоит в том, что дополнительная информация зависит от возможностей промыслового эксперимента.

Существующие графоаналитические методы интерпретации кривых восстановления давления, полученных в экспериментах на горизонтальных скважинах, основаны на замене притока флюида к стволу горизонтальной скважины последовательностью плоских потоков [1].

В данной работе приток флюида к стволу горизонтальной скважины моделируется численно, т. е. решается трехмерная задача фильтрации флюида к горизонтальной скважине. Для интерпретации результатов гидродинамических исследований горизонтальных скважин предлагаются вычислительные алгоритмы, построенные на основе методов регуляризации. В работе оцениваются проницаемость пласта в зависимости от давления (нелинейно-упругий режим фильтрации), проницаемость анизотропного пласта и значение пластового давления (упругий режим фильтрации). Приведены результаты расчетов.

1. Исследованию процессов фильтрации в нефтегазоносных пластах, проницаемость которых зависит от давления, посвящено большое количество работ. Это связано с изучением влияния режимов эксплуатации скважин на фильтрационные характеристики пласта [2].

Обратная задача состоит в определении параметра  $s(p) = k(p)/\mu$ , когда процесс фильтрации описывается уравнением

$$\beta^* \frac{\partial p}{\partial t} = \nabla(s(p)\nabla p), \quad 0 < t \leq T, \quad (x, y, z) \in V \quad (1.1)$$

с начальным условием

$$p(x, y, z, 0) = p_0(x, y, z) \quad (1.2)$$

и граничными условиями

$$(s(p)\nabla p, \mathbf{n})|_{\partial V_1} = 0; \quad (1.3)$$

$$p|_{\partial V_2} = p_r; \quad (1.4)$$

$$(s(p)\nabla p, \mathbf{n})|_S = q(x, y, z, t), \quad (1.5)$$

где  $s$  — коэффициент подвижности нефти;  $k$  — коэффициент проницаемости пласта;  $\mu$  — динамическая вязкость флюида;  $\beta^*$  — упругоэластичность пласта;  $p$  — давление;  $p_r$  — пластовое давление;  $q(x, y, z, t)$  — приток флюида, приходящийся на единицу поверхности ствола горизонтальной скважины;  $V$  — область фильтрации, ограниченная внешней поверхностью  $\partial V = \partial V_1 \cup \partial V_2$ ;  $S$  — поверхность ствола горизонтальной скважины;  $\mathbf{n}$  — единичный вектор нормали.

Экспериментальные зависимости коэффициента проницаемости от давления можно аппроксимировать монотонными и выпуклыми функциями [2]. Решение обратной задачи с учетом ограничений на искомую функцию (монотонность и выпуклость) будем искать из условия минимума функционала

$$\inf_{s \in D} J(s), \quad J(s) = \int_0^T (p_H(t) - p_B(t))^2 dt, \quad (1.6)$$

где  $p_H(t)$ ,  $p_B(t)$  — наблюдаемые и вычисленные давления в скважине;  $T$  — время эксперимента;  $D$  — множество допустимых функций, удовлетворяющих условиям

$$0 < s_{\min} \leq s(p) \leq s_{\max}, \quad s_p(p) \geq 0, \quad s_{pp}(p) \geq 0, \quad p \in [M_1, M_2], \quad (1.7)$$

$$M_1, M_2, s_{\min}, s_{\max} = \text{const} > 0.$$

Используя метод малых возмущений и условие стационарности функционала Лагранжа, можно получить выражение для градиента функционала

$$(\nabla J, \delta s) = - \int_0^T \int_V (\nabla \psi, \nabla p) \delta s dV dt.$$

Здесь  $\psi(x, y, z, t)$  — решение сопряженной задачи

$$-\beta^* \frac{\partial \psi}{\partial t} = \nabla(s(p)\nabla \psi) - (\nabla p, s_p \nabla \psi), \quad 0 \leq t < T, \quad (x, y, z) \in V, \quad (1.8)$$

$$\psi(x, y, z, T) = 0, \quad (s(p)\nabla \psi, \mathbf{n})|_{\partial V_1} = 0, \quad \psi|_{\partial V_2} = 0;$$

$$(s(p)\nabla \psi, \mathbf{n})|_S = q^*(x, y, z, t). \quad (1.9)$$

Задачи (1.1)–(1.5) и (1.8), (1.9) решаются численно методом конечных разностей. Величина  $q^*(x, y, z, t)$  определяется из решения задачи (1.1)–(1.5). Для аппроксимации коэффициента  $s(p)$  рассматривается множество сеточных функций  $\tilde{s} = (s_0, \dots, s_l, \dots, s_{N_l})$ , определенных в узлах сетки  $\bar{\omega}_\sigma = \{p_l; M_1 = p_0 < p_1 < \dots < p_{N_l} = M_2, p_l - p_{l-1} = \sigma_l\}$  таких, что для  $p_{ijk}^n \in [p_{l-1}, p_l]$

$$s(p_{ijk}^n) = s_{l-1} + \frac{p_{ijk}^n - p_{l-1}}{\sigma_l} (s_l - s_{l-1}), \quad l = 1, \dots, N_l,$$

где  $s_l = s(p_l)$ ;  $p_{ijk}^n$  — значение давления в ячейке  $(i, j, k)$  конечно-разностной сетки на  $n$ -м временном интервале.

Дискретным аналогом вариационной задачи (1.6) является следующая задача нелинейного программирования

$$\min_{\tilde{s} \in \tilde{D}} J(\tilde{s}), \quad J(\tilde{s}) = \sum_{n=1}^{N_\tau} \tau_n (p_H^n - p_B^n)^2, \quad (1.10)$$

где  $\tau_n$  — шаг временной сетки;  $\tilde{D}$  — множество сеточных функций  $\tilde{s} = (s_0, \dots, s_l, \dots, s_{N_l})$ , удовлетворяющих ограничениям

$$\begin{aligned} 0 < s_{\min} \leq s_l \leq s_{\max}, \quad l = 0, \dots, N_l, \quad s_{l+1} \geq s_l, \quad l = 0, \dots, N_l - 1, \\ \frac{s_{l+1} - s_l}{\sigma_{l+1}} \geq \frac{s_l - s_{l-1}}{\sigma_l}, \quad l = 1, \dots, N_l - 1. \end{aligned} \quad (1.11)$$

Условия (1.11) представляют собой дискретные аналоги условий (1.7).

Для минимизации функционала (1.10) при ограничениях (1.11) используется метод проекции сопряженных градиентов [3, 4]. Вычисление градиента функционала на каждом шаге итерационного процесса включает решение краевых задач (1.1)–(1.5) и (1.8), (1.9).

**2.** Большинство нефтегазоносных пластов имеют слоистое строение, обусловленное особенностями процесса осадконакопления. В таких пластах фильтрационные свойства в плоскости слоев отличаются от свойств в направлении, перпендикулярном к слоям. Для оценки анизотропии пласта рассматривается следующая обратная задача: определить главные значения тензора коэффициентов проницаемости  $k_x, k_y, k_z$  и значение пластового давления  $p_r$ , когда процесс нестационарной фильтрации описывается дифференциальным уравнением

$$\mu\beta^* \frac{\partial p}{\partial t} = k_x \frac{\partial^2 p}{\partial x^2} + k_y \frac{\partial^2 p}{\partial y^2} + k_z \frac{\partial^2 p}{\partial z^2}, \quad 0 < t \leq T, \quad (x, y, z) \in V$$

с начальным условием

$$p(x, y, z, 0) = p_0(x, y, z)$$

и граничными условиями

$$(\mathbf{w}, \mathbf{n})|_{\partial V_1} = 0, \quad p|_{\partial V_2} = p_r, \quad -(\mathbf{w}, \mathbf{n})|_S = q(x, y, z, t),$$

где  $\mathbf{w}$  — вектор скорости фильтрации.

Решение обратной задачи сводится к минимизации следующего функционала

$$J(k_x, k_y, k_z, p_r) = \int_0^T (p_H(t) - p_B(t))^2 dt. \quad (2.1)$$

Итерационная последовательность для минимизации функционала (2.1) строится методом градиентного спуска [5, 6]. Градиенты функционала по соответствующим компонентам тензора коэффициентов проницаемости и пластовому давлению вычисляются по формулам

$$\begin{aligned} J'_{k_x} &= - \int_0^T \int_V \frac{\partial \psi}{\partial x} \frac{\partial p}{\partial x} dV dt, \quad J'_{k_y} = - \int_0^T \int_V \frac{\partial \psi}{\partial y} \frac{\partial p}{\partial y} dV dt, \quad J'_{k_z} = - \int_0^T \int_V \frac{\partial \psi}{\partial z} \frac{\partial p}{\partial z} dV dt, \\ J'_{p_r} &= - \int_0^T \int_{\partial V_2} \left( \frac{k_x}{\mu} \frac{\partial \psi}{\partial x} n_x + \frac{k_y}{\mu} \frac{\partial \psi}{\partial y} n_y + \frac{k_z}{\mu} \frac{\partial \psi}{\partial z} n_z \right) d\sigma dt, \end{aligned}$$

где функция  $\psi(x, y, z, t)$  является решением соответствующей сопряженной задачи;  $n_x, n_y, n_z$  — направляющие косинусы нормали к поверхности  $\partial V_2$ .

**3.** В расчетах область фильтрации  $V$  задавалась в виде параллелепипеда. Тогда  $\partial V_1$  — кровля и подошва пласта,  $\partial V_2$  — боковые грани пласта. Начало декартовой системы координат совмещено с началом оси горизонтального ствола скважины, а ось  $x$  направлена вдоль оси горизонтальной скважины. Приток  $q(x, y, z, t)$  в (1.5) вычисляется в предположении, что давление на поверхности ствола горизонтальной скважины постоянно. При этом дебит горизонтальной скважины

$$Q = \int_S q(x, y, z, t) ds.$$

Величина  $q^*(x, y, z, t)$  в (1.9) вычисляется в предположении, что функция  $\psi(x, y, z, t)$  постоянна на поверхности  $S$ . При этом

$$\int_S q^*(x, y, z, t) ds = 2(p_H(t) - p_B(t)).$$

Правая часть этого выражения получена при выполнении условия стационарности функционала Лагранжа.

В расчетах использовалась аппроксимация параболического уравнения неявной конечно-разностной схемой. Параметры расчетов выбирались такими, чтобы использование более мелкой сетки не сказывалось на результатах [7].

На рис. 1, *a* приведена кривая восстановления давления для горизонтальной скважины 13473 Шегурчинского месторождения. Дебит скважины до остановки  $Q = 5,9 \cdot 10^{-5} \text{ м}^3/\text{с}$ , длина горизонтальной части скважины 204 м, вязкость нефти  $\mu = 25 \text{ мПа} \cdot \text{с}$ , толщина пласта 22 м. В качестве начального приближения пластового давления бралась последняя

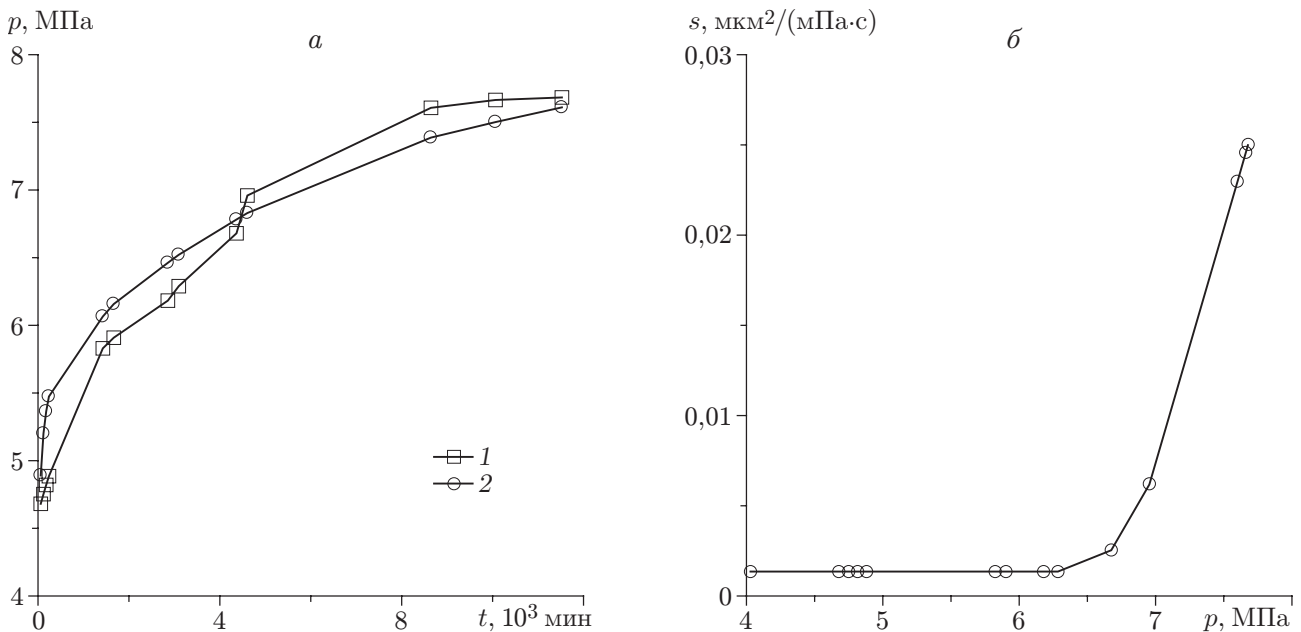


Рис. 1. Кривая восстановления давления  $p(t)$  (*a*) и расчетная зависимость  $s(p)$  (*б*) для горизонтальной скважины 13473:  
1 — эксперимент; 2 — расчет

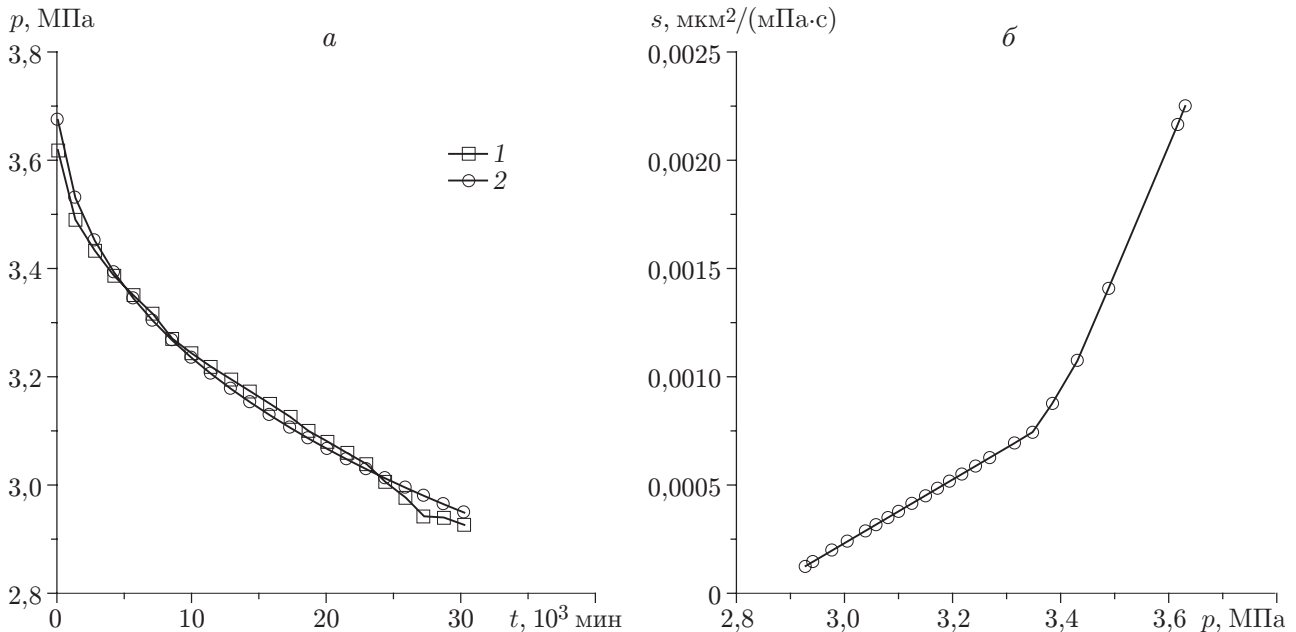


Рис. 2. Кривая откачки  $p(t)$  (а) и расчетная зависимость  $s(p)$  (б) для горизонтальной скважины 1947:

1 — эксперимент; 2 — расчет

точка кривой восстановления давления ( $p_{\Gamma}^0 = 7,685$  МПа). Для модели анизотропного пласта были получены следующие результаты:  $k_x = k_y = 0,041$  мкм<sup>2</sup>,  $k_z = 0,123 \cdot 10^{-4}$  мкм<sup>2</sup>,  $p_{\Gamma} = 8,582$  МПа; для модели однородного пласта  $k = 0,014$  мкм<sup>2</sup>. На рис. 1,б приведена расчетная зависимость параметра  $s(p)$ .

На рис. 2,а показано изменение давления (кривая откачки) для горизонтальной скважины 1947 Сиреневского месторождения. Дебит скважины до остановки  $Q = 9,95 \times 10^{-5}$  м<sup>3</sup>/с, длина горизонтальной части скважины 310 м, вязкость нефти  $\mu = 25$  МПа·с, толщина пласта 31 м, начальное приближение пластового давления  $p_{\Gamma}^0 = 3,633$  МПа. На рис. 2,б приведена расчетная зависимость параметра  $s(p)$ . Расчеты показали, что  $k_x = k_y = 0,031$  мкм<sup>2</sup>,  $k_z = 0,033$  мкм<sup>2</sup>,  $p_{\Gamma} = 3,915$  МПа; для модели однородного пласта  $k = 0,039$  мкм<sup>2</sup>.

Предложенные вычислительные алгоритмы для интерпретации результатов гидродинамических исследований горизонтальных скважин позволяют оценить анизотропию пласта, пластовое давление и получить зависимость фильтрационных параметров пласта от давления.

## ЛИТЕРАТУРА

1. Kuchuk F. J., Good P. A., Brice B. W., et al. Pressure-transient analysis for horizontal wells // J. Petrol. Technol. 1990. V. 42, N 8. P. 974–979.
2. Николаевский В. Н., Басниев К. С., Горбунов А. Т., Зотов Г. А. Механика насыщенных пористых сред. М.: Недра, 1970.
3. Морозов П. Е., Садовников Р. В., Хайруллин М. Х., Шамсиев М. Н. Оценивание фильтрационных параметров пласта по данным нестационарного притока жидкости к вертикальным скважинам // Инж.-физ. журн. 2003. Т. 76, № 6. С. 142–146.

4. Морозов В. А., Гольдман Н. Л., Малышев В. А. Метод дескриптивной регуляризации в обратных задачах // Инж.-физ. журн. 1993. Т. 65, № 6. С. 695–702.
5. Алифанов О. М., Артюхин Е. А., Румянцев С. В. Экстремальные методы решения некорректных задач. М.: Наука, 1988.
6. Хайруллин М. Х., Шамсиев М. Н., Садовников Р. В. Численные алгоритмы решения обратных задач подземной гидромеханики // Мат. моделирование. 1998. Т. 10, № 7. С. 101–110.
7. Самарский А. А., Гулин А. Б. Численные методы. М.: Наука, 1989.

*Поступила в редакцию 23/VII 2003 г.,  
в окончательном варианте — 10/VIII 2004 г.*

---